

## مروری بر ماهیت و کاربرد رنگدانه سفید باریم در صنعت و هنر

مهدى رازانى<sup>\*</sup> ، محدثه السادات ناصر اهرى<sup>\*</sup>

۱- استادیار، دانشکده حفاظت از آثار فرهنگی، دانشگاه هنر اسلامی تبریز، ایران، صندوق پستی: ۵۱۶۴۷۳۶۹۳۱

۲- کارشناسی ارشد، دانشکده حفاظت از آثار فرهنگی، دانشگاه هنر اسلامی تبریز، ایران، صندوق پستی: ۵۱۶۴۷۳۶۹۳۱

تاریخ دریافت: ۹۹/۱۱/۰۱ تاریخ بازبینی نهایی: ۹۹/۰۳/۲۵ تاریخ پذیرش: ۹۹/۰۳/۲۹ در دسترس بصورت الکترونیک: ۹۹/۰۹/۲۲

### چکیده

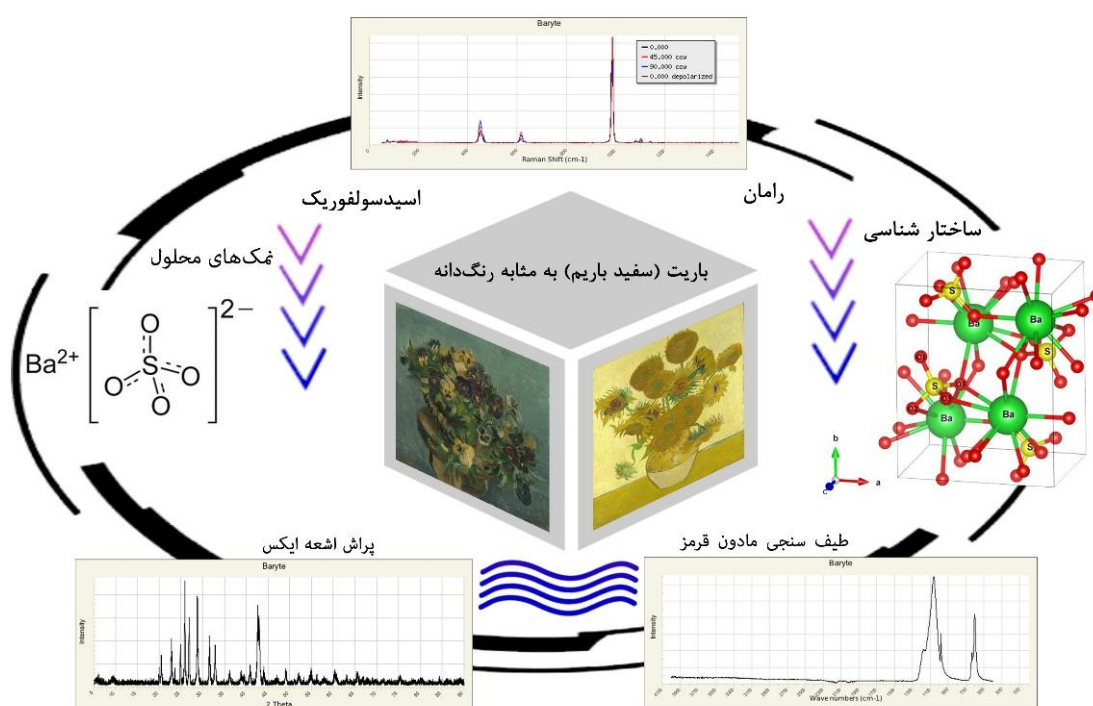
مواد رنگی بر حسب منشأ و انحصار پذیری و پوشش دهی خود به دو دسته رنگدانه ها با ساختار معدنی و ماده رنگزا با ساختار آلی تقسیم می شوند. سولفات باریم از اواخر سده هجدهم میلادی به عنوان رنگدانه سفید، چه به صورت تنها و چه در ترکیب با رنگدانه های دیگر به کاربرده شده است. این مقاله با هدف بررسی ماهیت و کاربرد این رنگدانه نگارش شده است و در طی آن ضمن ارائه مختصراً از تاریخچه رنگدانه ها به بررسی مهم ترین خواص فیزیکی و شیمیایی گونه های رنگدانه سفید پرداخته شده است. به علاوه سعی شده تمامی خواص ساختاری، فیزیکی، شیمیایی و چشمی رنگدانه باریم سولفات که موضوع اصلی این مقاله است به همراه طرز تهیه و روش های شناسایی و آسیب شناسی آن مورد بررسی قرار گیرد. نتایج مطالعات انجام شده حاکی از آن است که هرچند استفاده از رنگدانه مذکور به نسبت سایر رنگدانه های سفید، متأخرتر بوده است لیکن تولید و سهولت استفاده، به واسطه خواص جالب توجه آن موجب وسعت کاربرد آن در هنر و صنعت گردیده است.

### واژه های کلیدی

رنگدانه، باریت سفید، رنگدانه سفید، میراث فرهنگی.

### چکیده تصویری

#### روش های شناسایی رنگدانه سولفات باریم



## A Review of Artistic and Industrial Characteristic and Application of Brite

Mehdi Razani\*, Mohaddeseh Sadat NaserAhary

Faculty of cultural materials conservation, Tabriz Islamic Art University, P. O. Box: 5164736931, Tabriz, Iran.

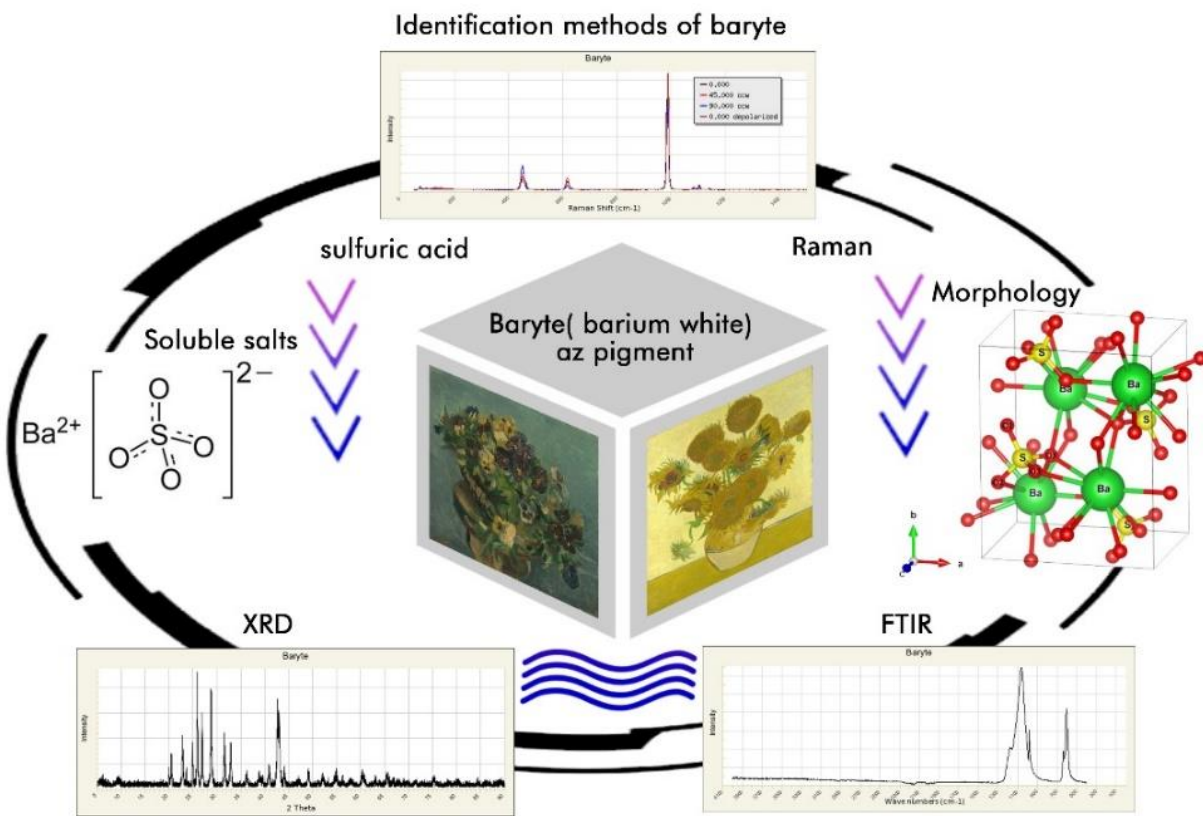
### Abstract

According to the origin and the solubility in the coating, Colored materials are divided into inorganic pigments and organic dyes. Since the late 18th century, Barium sulfate has been used as a white pigment in different supports, either unaccompanied or combined with other pigments. The present paper aims to review the Characteristics and application of barite. In addition to representing a brief history of this pigment, white pigments' most important physical and chemical properties have been studied. Also, all of the structural, physical, chemical, and visual properties of barium sulfate pigment, which is the main issue of this article, with the preparation, identification, and diagnosis methods, have been studied. Although this pigment was used later than the other white pigments, its production and convenience of application have expanded usage in art and industry due to its attractive properties.

### Keywords

Pigment, White barite, White pigment, Cultural heritage.

### Graphical abstract



## ۱- مقدمه

درنتیجه با توجه به پیشرفت روزافزون در صنعت و بهخصوص صنعت نفت و پرکار و صنایع الکترونیک، نیاز به باریت و فراوردهای آن بیشتر احساس شده [۷] و همچنین به دلیل مفید شناخته شدن وجود سولفات باریم در رنگ‌ها برای اهداف خاص دیگر، از جمله افزایش مقاومت در برابر حمله خورندها مورد استفاده قرار گرفته است. در این مقاله مروی به طور خلاصه به ماهیت کاربرد رنگدانه سفید باریم در صنعت و هنر، روند پیدایش و همچنین تفاوت آن با سایر رنگدانه‌های سفید و نیز افق‌های پیش رو در رابطه با توسعه خواص این رنگ پرداخته شده است.

## ۲- تاریخچه رنگدانه‌ها

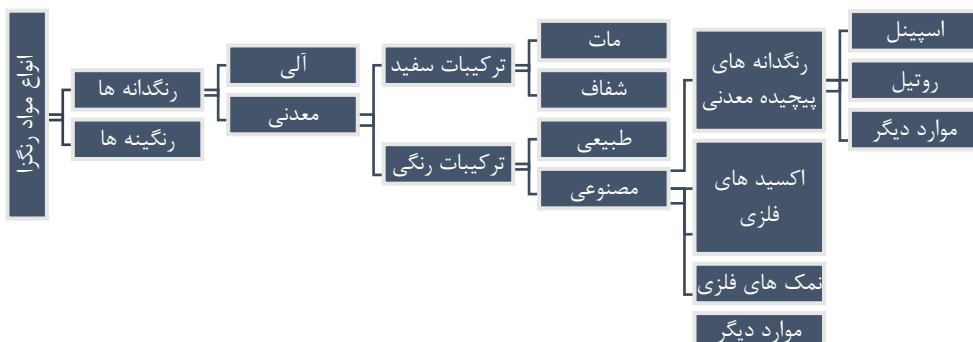
زمین از سنگ‌های فراوانی تشکیل شده است این سنگ‌ها در اثر هوای دگر دچار تغییراتی شده و در حالت‌های مختلف خاکدانه، سنگ‌دانه و رنگدانه دیده می‌شوند. در این میان رنگدانه‌ها و عوامل رنگزایی که ریشه طبیعی و معدنی دارند نیز از هوای دگر سنگ‌های اولیه‌ای که پودر آن‌ها رنگی است از پیش از ۲۵ هزار سال قبل توسط انسان تهیه شده و مورد استفاده قرار گرفته‌اند.

رنگدانه‌ها ترکیبات شیمیایی هستند که نور را در محدوده طول موج مرئی (۳۸۰-۷۴۰ نانومتر) جذب می‌کنند. رنگ تولید شده نیز به دلیل ساختار مخصوص مولکول‌ها (کروموفور) است. این ساختار انرژی را جذب کرده و الکترون، از یک مدار خارجی به یک مدار بالاتر برانگیخته می‌شود. انرژی جذب‌نشده منعکس شده و یا شکسته می‌شود تا توسط چشم دریافت شود [۸].

عوامل رنگزای طبیعی شامل ترکیبات آلی و معدنی هستند. رنگ‌های آلی حاوی ترکیبات کربنی بوده و همین ویژگی یکی از عواملی است که سبب تمایز آن‌ها با رنگدانه‌های معدنی می‌شود. از سویی با توجه به پیشرفت علم و شناخت بیشتر مواد، به دلیل وجود فلزات سنگین سمی در برخی از ترکیبات معدنی، تعدادی از آن‌ها محدود یا کاملاً منوع شده‌اند. رنگدانه‌های معدنی بر اساس رنگ، منشأ، روش تولید و ویژگی مواد رنگدانه طبقه‌بندی می‌شوند. همان‌طور که در شکل ۱ نشان داده شده است، رایج‌ترین دسته‌بندی‌ها برای طبقه‌بندی رنگدانه‌ها بر اساس ساختار شیمیایی آن‌هاست.

در بیان علمی به موادی که منجر به ایجاد فام در یک سامانه پوششی می‌شوند ماده رنگی گفته می‌شود. مواد رنگی بر حسب منشأ و احلال‌پذیری در پوشش خود به دو دسته رنگدانه‌ها و مواد رنگزا تقسیم می‌شوند. رنگدانه‌ها به‌واسطه حل نشدن در محیط کاربری خود علاوه بر ایجاد رنگ در پوشش، نقش‌هایی از قبیل: ایجاد مقاومت مکانیکی، مقاومت در برابر خوردگی و بهبود طول عمر پوشش را بر عهده داردند [۳-۱]. از زمان‌های بسیار قدیم، نقاشان انواع مختلفی از مواد آلی را برای مخلوط کردن با رنگدانه‌های معدنی امتحان کرده‌اند. این اجزا می‌توانند به طور همزمان در لایه‌های مختلف رنگ وجود داشته باشند و شناخت مواد تشکیل‌دهنده رنگدانه‌ها را دشوار کنند [۴]. هرچند شناسایی رنگدانه‌ها و بسته‌ها<sup>۱</sup> از مهم‌ترین وظایف در زمینه میراث فرهنگی و هنری نقاشی به منظور ایجاد اقدامات مناسب در جهت مرمت و حفاظت است [۵]. اما موضوع این مقاله شناسایی رنگدانه‌ها نیست. با بررسی منابع به‌خصوص در میان پژوهش‌های صورت گرفته در ایران مشخص گردید که تاکنون مطالعات خاصی روی رنگدانه سولفات باریم انجام نشده است. در همین راستا سعی بر آن بود که در مقاله حاضر به‌طور خاص به بررسی رنگدانه سفید باریم پرداخته و نقاط قوت و ضعف آن شناسایی گردد. بدون شک خواص رنگ رابطه مستقیمی با خصوصیات شیمیایی و ساختاری ماده رنگزا دارد؛ بنابراین پاسخ دلیل، به عنوان مثال: سفید بودن یک رنگ از نظر دانشمندان علوم طبیعی و تاریخی کاملاً متفاوت است. مورخان به دنبال نمادگرایی از رنگ‌ها و دلایل فکری هستند که باعث شد نقاش از یک ماده مخصوص در یک زمینه خاص استفاده کند اما دانشمندان علوم طبیعی به دنبال منشأ رنگ‌ها در ماده‌ای هستند که روند پیدایش طبیعی و یا منشأ مصنوعی آن را منعکس می‌کند [۶].

<sup>۱</sup> بست (Binder Medium) عبارت است از هر گونه مواد چسبنده و چسباننده ای که در نقاشی موجب اتصال رنگدانه‌ها به یکدیگر و به سطوح میگردد این عامل چسبنده میتواند انواع طبیعی و مصنوعی را داشته باشد و عمده‌تاکنیک نقاشی‌ها با استفاده از نوع بست آنها نام گذاری می‌شود مانند تکنیک رنگ و روغن که به معنای استفاده از رنگدانه‌ها به همراه بست روغنی است.



شکل ۱- نمودار طبقه‌بندی مواد رنگزا [۹]

در ترکیبات رنگ دیده می‌شوند [۱۴]. بیشترین استفاده از رنگدانه سفید مربوط به شکل بلوری دی‌اکسید تیتانیم ( $TiO_2$ ) با بالاترین شاخص شکست (۲/۷۶) است که به عنوان روتیل شناخته می‌شود. شکل بلوری دیگری از ( $TiO_2$ )، به نام آناتاز، گاهی اوقات در پوشش‌ها استفاده می‌شود، اما ضریب شکست پایین (۰/۵۵)، آن را به یک رنگدانه با بهره‌وری نوری کم تبدیل می‌کند. اولین رنگدانه سفید تجاری "سرب سفید" یا کربنات سرب پایه بود که به طور گسترده تا حدود سال‌های ۱۹۲۵-۳۰ استفاده می‌شد [۱۵]. این رنگدانه که از مخلوط دو فاز بلوری سرسویت  $PbCO_3$  (با مارک C) و هیدروکروسایت  $Pb_3[CO_3]_2[OH]_2$  (با مارک HC) در نسبت‌های متغیر تشکیل شده است [۱۶] یک ترکیب محلول در آب سمی بود و استفاده از آن در پوشش‌ها از دهه ۱۹۶۰ به بعد محدود شد. این رنگدانه به دلیل ضریب شکست حدوداً (۱/۹۴)، با دی‌اکسید تیتانیم جایگزین شد که قدرت پوشانندگی آن بیش از هشت برابر کارآمدتر از سفید سرب بود [۱۵]. سایر رنگدانه‌های سفید پایه سربی شامل سفید سففات سرب، سفیدمتاسیلیکات سرب، هیدروکسید کلرید سرب، فسفیت سرب و سفید سولفات سرب هستند که نمک‌های اسید فسفوکلرید  $PO_4^{3-}$ ، متاسیلیکات‌ها  $SiO_3^{2-}$ ، سولفات‌ها  $SO_4^{2-}$  و فسفیت‌ها  $PO_3^{3-}$  را در ترکیبات خود دارند. رنگدانه‌ی سفید اکسید روی با تمام رنگدانه‌های معدنی سازگار است به این معنی که تغییر رنگ نمی‌دهد [۱۴]. دیگر رنگدانه‌های با پایه روی در ساختار خود بنیان‌های فسفاتی و سولفاتی دارند که ویژگی‌های متفاوتی به آن‌ها بخشیده است. ساختارهای بلوری رنگدانه‌های سفید پایه سیلیسیم از جمله سیلیکا، به جزء استیسویوت، آرایه‌های چهارضلعی سه‌بعدی متصل هستند که هر کدام از آن‌ها از یک اتم سیلیکون تشکیل و توسط چهار اتم اکسیژن هماهنگ شده‌اند [۱۵]. کائولین نمونه دیگری از رنگدانه‌های آلومینوسیلیکاتی در حالت طبیعی آن، یک پودر نرم و سفید مشکل از ماده معدنی کائولینیت بوده که در زیر میکروسکوپ الکترونی، از بلورهای پلاستیکی تقریباً شش ضلعی تشکیل شده است کائولن که در طبیعت یافت می‌شود معمولاً حاوی مقادیر مختلفی از مواد معدنی دیگر مانند مسکویت، کوارتز، فلدسپات و آناتاز است که نوع خام آن اغلب توسط رنگدانه‌های هیدروکسید آهن زردرنگ می‌شود. سایر رنگدانه‌های سفید شامل گیبسایت، سفید آنتیموان، سفید اکسید قلع، سفید اکسید زیرکونیم، سفید بیسموت اکسید کلراید هستند در جدول ۱ ویژگی‌های این رنگدانه‌ها از جمله میزان ماتی، سمیت و جذب روغن به همراه ترکیبات شیمیایی جمع‌بندی شده است میزان سمیت رنگدانه‌ها بین ۴-۱ مشخص شده است که ۱ نشان‌دهنده رنگدانه‌های بخی خطر و ۴ نشان‌دهنده رنگدانه‌های سمی است. همچنین میزان ماتی رنگدانه‌ها به چهار دسته‌مات، نیمه‌مات، نیمه‌شفاف و شفاف طبقه‌بندی شده است که به ترتیب ۱ نشان‌دهنده مات‌ترین رنگ و ۴ برای رنگدانه‌های شفاف است. مقادیر H و L در میزان جذب روغن به ترتیب نشان‌دهنده میزان جذب روغن بالا و کم هستند [۱۷].

رنگدانه‌های آلی طبیعی توسط موجودات زنده مانند گیاهان، حیوانات، قارچ‌ها و میکروارگانیسم‌ها و رنگدانه‌های آلی مصنوعی در آزمایشگاه‌ها تولید می‌شوند. رنگدانه‌های معدنی را می‌توان در طبیعت یافت و یا با سنتز تولید کرد [۸]. در اعصار پیش از تاریخ، بشر از طریق تصاویر نقاشی شده، چه به صورت نقش‌های دستی ساده و چه به صورت نقش‌های زیبا و یا دیوارنگاره اثر خود را بر محیط گذاشته است. رنگدانه‌های اولیه از خاک آسیاب شده ساخته می‌شدند و هنگام ترکیب با آب یا چربی اثر بهتری داشته و از آن‌ها برای رنگ‌آمیزی سطوح استفاده می‌شد [۱۰]. این رنگ‌ها به طور معمول حاصل ترکیب کردن حداقل دو ماده (رنگ و بست) هستند. به همین ترکیب دوتایی گاه مواد بهبود دهنده، پرکننده یا پدیدآورنده کیفیت‌های خاص افزوده می‌شده است تا جلوه‌های موردنظر نقاش به دست آید. البته مواد خام چندی از این رنگ‌ها از گیاهان تهیه می‌شده است، اما هیچ ماده‌ای بدون دست کاری و فرآوری قابل استفاده نبوده است [۱۱]. رنگدانه‌هایی که به پراکندگی نور در پوشش‌ها کمک می‌کنند، به عنوان رنگدانه‌های سفید شناخته می‌شوند. آن‌ها با پراکندگی تمام طول موج‌های نور، به دلیل ضریب شکست مابین (۱/۵ تا ۱/۵)، هر سه نوع سلول مخروطی حساس به رنگ را در چشم انسان تقریباً برابر و با روش‌نایابی بالا تحریک می‌کنند که در نهایت سبب سفید دیده شدن این رنگ‌ها می‌شود. پودر آهک و جسو اولین سفیدهای استفاده شده در دوران ماقبل تاریخ بودند [۱۲]. اگرچه طبق تعریف، رنگدانه‌ها نامحلول هستند، اما در عمل ممکن است تا حدی در حل‌های آلی حل شوند افزایش اندازه مولکولی باعث کاهش حلایلیت می‌شود، بنابراین به طور کلی رنگدانه‌هایی که مركب از چند جزء هستند، در برابر حل‌ها از مقاومت خوبی برخوردارند. با این حال، افزایش اندازه مولکول تأثیرات دیگری مانند کاهش قدرت رنگ‌آمیزی و افزایش هزینه‌ها را در پی خواهد داشت [۱۳].

## ۲- گونه‌شناسی رنگدانه‌های سفید

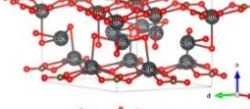
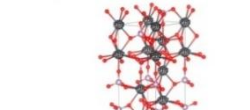
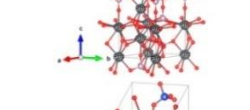
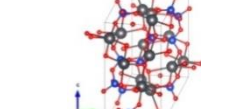
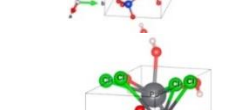
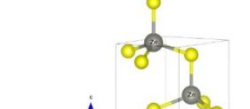
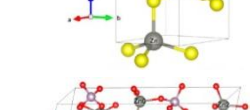
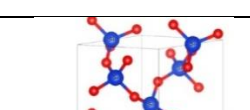
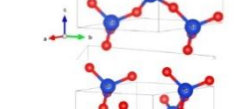
با توجه به تمرکز مقاله بر روی رنگدانه سولفات باریم و نیز جایگاه رنگدانه مذکور در میان سایر رنگدانه‌های سفید، یک طبقه‌بندی از گونه‌های مختلف این رنگدانه‌ها به عنوان بخش مهمی از مطالعات، بر اساس عناصر پایه آنها ذکر شده است. همان‌گونه که در بخش تاریخچه ذکر شد رنگدانه‌های سفید با منشأ معدنی و طبیعی جزء اولین رنگدانه‌های مورداستفاده بودند. یکی از این رنگدانه‌ها، کربنات کلسیم بوده که رایج‌ترین شکل طبیعی و بلوری آن کلسیت است. این ماده عمدتاً در سنگ‌های رسوبی مانند گچ و سنگ‌آهک و همچنین در سنگ‌های دگرگونی و حتی گاهی اوقات در سنگ‌های آذرین نیز وجود دارد و ماده اصلی تشکیل‌دهنده رسوبات غار، سنگ مرمر عقیق و سایر مواد است. انواع رنگدانه‌های با پایه کلسیم شامل ژیپس، گل‌سفید، سفید استخوان و مرجان و دولومیت است. در یک تفکیک کلی از بنیان‌های این رنگدانه‌ها نمک‌های اسیدی همچون سولفات‌ها، کربنات‌ها، فسفات‌ها و سیلیکات‌ها

<sup>۱</sup> از این پس منظور از رنگدانه، رنگدانه‌های معدنی است.

جدول ۱ - انواع رنگدانه‌های سفید / ۲۰-۱۷.

ساختار مولکولی	جذب روغن (g/100g)	میزان ماتی	سمیت	ترکیب شیمیایی	نام جایگزین	نام رنگدانه	پایه رنگی
	۱۸-۲۲	۱-۳	۱	CaSO <sub>4</sub>	آلابستر	ژیپس	پایه کلسیم
	۱۲-۱۴	۱-۴	۱	Ca.Mg[CO <sub>3</sub> ] <sub>2</sub>	آنکریت هانتیت	دولومیت	
	-	۱	۲	CaCO <sub>3</sub>	گل سفید	سفید کربنات کلسیمی	
	-	-	۱	Ca <sub>3</sub> [PO <sub>4</sub> ] <sub>2</sub>	تویت	سفید استخوان	
	H	۴	۱	CaH <sub>2</sub> O <sub>4</sub> Si	-	سفید کلسیم سیلیکات هیدراته	
	۱۵-۲۵	۲-۳	۱	BaSO <sub>4</sub>	باریت	سفید سولفات باریم	
	۱۵-۲۵	۳	۴	BaCO <sub>3</sub>	نمک باریم	سفید کربنات باریم	پایه باریم
	۱۸-۳۰	۱-۲	۱	TiO <sub>2</sub>	آناتاز	سفید تیتانیم	پایه تیتانیم
	۱۸-۳۰	۱-۲	۱	TiO <sub>2</sub>	روتیل	سفید تیتانیم	

(ادامه جدول ۱)

ساختار مولکولی	جذب روغن (g/100g)	میزان ماتی	سمیت	ترکیب شیمیایی	نام جایگزین	نام رنگدانه	پایه رنگی
	10-22	۲	۳	$[PbCO_3]_2 \cdot Pb(OH)_2$	هیدروسوروسیت	سفیداب سرب	پایه سرب
	-	-	۳	$Pb_3(PO_4)_2$	-	سفید فسفات سرب	
	L	۱	۳	$PbSiO_3$	آلاموسیت	سفید متاسیلیکات سرب	
	-	-	۳	$PbCl[OH]$	لوریونیت	هیدروکسید کلرید سرب	
	10-22	۲	۳	$PbSO_4$	سرب سفید	سفید سولفات سرب	
	11-13	۱-۲	۱	ZnS	وورتزیت	سفید سولفید روی	پایه روی
	-	۱	۱	$Zn_3(PO_4)_2$	-	فسفات روی	
	10-22	۲	۱	ZnO	اکسید روی	سفیداب روی	
	L	۱-۴	۱	SiO <sub>2</sub>	کوارتز	سیلیکا	پایه سیلیسیم
	26-55	۱-۴	۱	$Al_2Si_2O_5[OH]_4$	هیدروکسید سیلیکات آلومینیم	کائولن	

(ادامه جدول ۱)

ساختار مولکولی	جذب روغن (g/100g)	میزان ماتی	سمیت	ترکیب شیمیایی	نام جایگزین	نام رنگدانه	پایه رنگی
	۳۳-۵۵	۲-۴	۱	Al(OH) <sub>3</sub>	هیدروکسید آلومینیم طبیعی	گیبسایت	پایه آلومینیم
	-	۱-۲	۱	SrTiO <sub>3</sub>	استرانسیم، تیتانات، تاوسونیت	سفید سرامیکی	پایه استرانسیم
	۸-۱۲	۱	۳	Sb <sub>2</sub> O <sub>3</sub>	سنارمونتیت	آنتیموان تری اکسید	پایه آنتیموان
	-	-	-	ZrO <sub>2</sub>	سفید زیرکون	سفید اکسید زیرکونیم	پایه زیرکونیم
	-	۱	۱	SnO <sub>2</sub>	کاسیتیریت	سفید اکسید قلع	پایه قلع
	-	-	۱	BiOCl	بیسموکلایت	سفید بیسموت اکسید کلراید	پایه بیسموت

شکاف‌هاست، چنانچه در ماسه‌سنگ‌ها و سنگ‌های آهکی گاه رگه‌های مشخصی را تشکیل می‌دهد [۷]. در سال ۱۷۷۴ کوشیل<sup>۱</sup> بعد از کشف اکسید باریم خاطرنشان کرد: وقتی اسید سولفوریک به اکسید باریم محلول در آب اضافه شد، رسوبی تشکیل می‌شود [۲۲] که در اویل دهه ۱۸۰۰ باریتس بر حالت اکسیدی آن قرار داده شد؛ اما هیچ نشانه‌ای مبنی بر این که سولفات باریم به عنوان یک رنگدانه در قرن‌های شانزدهم و هفدهم در نظر گرفته شده باشد وجود ندارد این محصول طبیعی برای اولین بار به عنوان رنگدانه هنرمندان در حدود سال ۱۷۸۲ پیشنهاد شد، اما عمدۀ ترین معرفی مواد طبیعی و مصنوعی آن در تجارت احتمالاً در دوره ۱۸۱۰ تا ۱۸۲۰ انجام شده است [۲۳]. شکل ۲، جمع‌بندی کاملی از انواع رنگدانه‌های سفید استفاده شده در نقاشی‌های لهستانی را در دوره‌های مختلف نشان می‌دهد.

**۳- باریت (سفید باریم) به مثابه رنگدانه**  
تاریخ استفاده از باریت به عنوان رنگدانه به طور رسمی در سال ۱۷۸۲ با گزارش گایتون دو مورو<sup>۲</sup> از تحقیقات خود در مورد سرب سفید آغاز می‌شود [۲۱]. باریت از نام یونانی باروس به معنی سنگین گرفته شده [۷] و متداول‌ترین کانی باریم داری است که ذخایر آن در تمام مناطق جهان یافت می‌شود. بزرگ‌ترین تولید کننده باریت چین و دیگر تولید کنندگان عمدۀ باریت در خاورمیانه و شرق، هند و ایران هستند [۲۲]. باریت به صورت انفاقی و گاهی در مقادیر بزرگ رگه‌ای یا لایه‌ای تمرکز می‌یابد. این تمرکز می‌تواند تنها یا در ترکیب با کانه‌هایی نظیر فلورین، سلسیین، کوارتز، گالن، اسفالریت، کلسیت، دولومیت، سیدریت در برش‌های مختلف لایه‌های زمین‌شناسی دیده شود. شکل غالب باریت به صورت رگه‌ای و پرش‌گی

<sup>2</sup> Carl Wilhelm Scheele 1772<sup>1</sup> Guyton de Morveau

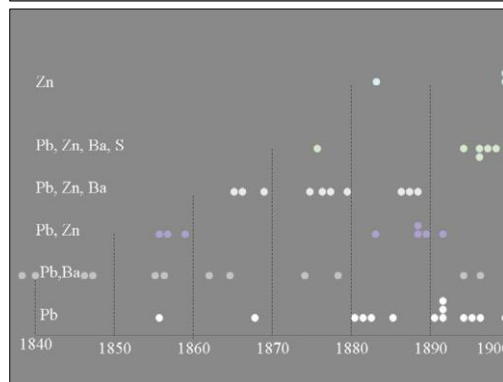
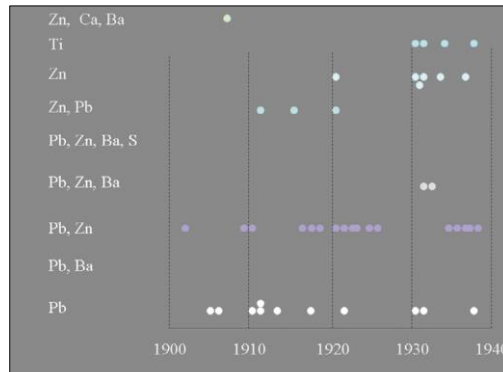
زیرقرمز را جذب نکرده و باعث اختلال در درخشش سایر رنگدانه‌ها نمی‌شود. این رنگدانه مصنوعی به اندازه کافی مات نیست که بتوان آن را به همراه روغن برای پوشش سفید سطوح به کار برد [۱۸]. سفیدی تجدید پذیر و خلوص بالای سولفات‌باریم مصنوعی منجر به استفاده از آن در کاشی‌های سفید استاندارد برای طیف‌سنجی بازتابی شده است. در عکاسی، سولفات‌باریم به عنوان زمینه سفید برای چاپ‌های رنگی استفاده می‌شود زیرا شفافیت خوبی فراهم کرده و درنتیجه رنگ‌های واقعی تولید می‌شود [۲۰]. امروزه عیارهای متفاوتی از باریت و بلنک فیکس وجود دارد ولی اغلب آن‌ها حاوی ۹۸٪ یا بیشتر باریم سولفات هستند [۱۸]. رنگدانه سفید باریم در تکیه‌گاه‌های مختلف چه به صورت تنها و به رنگ سفید و چه در ترکیب با رنگدانه‌های دیگر به کار برد شده است. ونگوگ از باریم سولفات برای بوم‌سازی تابلوهای خود استفاده کرده که تصویر<sup>۴</sup> شامل تابلوی سبد بنفسجهای<sup>۵</sup>، گل‌های آفتاب‌گردان<sup>۶</sup> و پرتره گوگن<sup>۷</sup> نمونه‌هایی از این نقاشی‌ها هستند [۲۷].



شکل ۳- کانی، سنگ و رنگدانه باریت [۲۸، ۲۶].



شکل ۴- تابلو نقاشی‌های ونگوگ از باریم سولفات جهت بوم‌سازی در این تابلوها استفاده شده است.



شکل ۲- یک نمونه از رنگ‌های سفید استفاده شده در نقاشی‌های لهستانی مربوط به دوره‌های: ۱۸۳۸ - ۱۸۴۰ - ۱۸۵۰ - ۱۸۶۰ - ۱۸۷۰ - ۱۸۸۰ - ۱۸۹۰ - ۱۹۰۰ - ۱۹۱۰ - ۱۹۲۰ - ۱۹۳۰ - ۱۹۴۰ سفید سرب (Pb), سفید سرب با سفید باریم (Ba, Pb), سفید سرب با سفید روی (Zn, Pb), سفید روی خالص (Zn), سفید سرب (Pb, Zn), مخلوط های سفید تیتانیم (Ti), مخلوطی از سرب و روی و سفید باریم (Ba, Zn, Pb), سفید روی با گچ و باریت (Ba, Ca, Zn), لیتوپون (Ba, Ca, Zn, Pb), سفید سرب با گچ و سفید باریم مخلوط شده (Ba, Ca, Pb).

باریت یک ماده بی اثر سنگین است ولی به دلیل ضریب شکست و شفافیت آن، قدرت پوشانندگی کافی برای کاربرد به مثابه رنگدانه‌ای ایده آل را ندارد همچنین میزان جذب روغن برای باریت پایین است و بسیاری از رنگدانه‌ها هنگامی که با این رنگدانه مخلوط می‌شوند روغن کمتری نیز جذب می‌کنند [۱۸]. برتری اصلی سفید سولفات‌باریم در حال حاضر شیمیایی و خاصیت غیررسمی آن است. سولفات‌باریم در کاربرد گسترده‌ای در پوشش‌های صنعتی، به ویژه آسترها خودرو دارد. با این حال، استفاده اولیه از باریت‌های خام در حفاری‌های نفتی است. سولفات‌باریم مرکب در رنگ‌های معروف به «لیتوپون» نیز دیده می‌شود. لیتوپون یک رنگدانه سفید است که مخلوطی از سولفید روی و سولفات‌باریم است [۲۴].

نمونه‌های کانی و سنگ و رنگدانه باریت در شکل ۳ دیده می‌شود. بلنک فیکس نامی است برای سولفات‌باریم مصنوعی که از رسوب دادن محلول کلرور باریم توسط سولفات‌سدیم به دست می‌آید [۱۸] که از حدود دهه ۱۸۲۰ به عنوان یک رنگدانه سفید ثابت و پایدار، ساخته و فروخته می‌شود [۲۰]. خواص این ماده شبیه باریت است ولی درجه نرمی ذرات و قدرت پوشانندگی آن از مواد طبیعی بیشتر است [۱۸]. بلنک فیکس در برابر اسیدها، مواد قلیایی و عوامل جوی مقاوم است. پرتوهای فرابنفش تا

<sup>1</sup> Basket with Pansies

<sup>2</sup> Cut Sunflowers

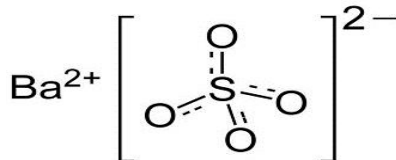
<sup>3</sup> Portrait of Gauguin

هر اتم اکسیژن  $\text{SO}_4^{2-}$  با نیروی پیوند یکسانی از یون های فلزی اطراف ساختارها محدود نشده است [۳۵]. ساختار بلوری باریت، شکل ۶، توسط وود و جیمز (۱۹۲۵)<sup>۱</sup> تعیین و توسط سهت (۱۹۶۳)<sup>۲</sup> و کولویل و استاداومر (۱۹۶۷)<sup>۳</sup> تخلیص شده است [۳۱]. بلورهای  $\text{BaSO}_4$  ارتوربمیک هستند و ماهیت آن ها متخلخل بوده و تمایل به جذب یون های خارجی دارند که می توانند هم زمان رسوب کنند [۳۶]. پارامترهای واحد ( $Z = 4$ ) برای باریت  $\text{A}^{\circ}$  با  $a = 8.88101 \text{ \AA}$ ،  $b = 7.15505 \text{ \AA}$  و  $c = 5.45447 \text{ \AA}$  و  $\alpha = 93.5^\circ$ ،  $\beta = 94.71^\circ$ ،  $\gamma = 94.6^\circ$  میانگین فاصله  $\langle \text{M-O} \rangle$  است. مواد معدنی باریت دارای گستنگی کامل در [۰۰۱]، به مقدار کمتر در [۲۱۰] و در [۰۱۰] ناقص هستند [۲۸].

<sup>1</sup> James & Wood (1925)

<sup>2</sup> Saht (1963)

<sup>3</sup> Colville & Staudhammer (1967)



$\text{Phi}(\text{O}_3\text{-S}\text{-O}_3) = 107.8732(0) \text{ deg.}$

$\text{Phi}(\text{O}_1\text{-S}\text{-O}_2) = 111.8630(0) \text{ deg.}$

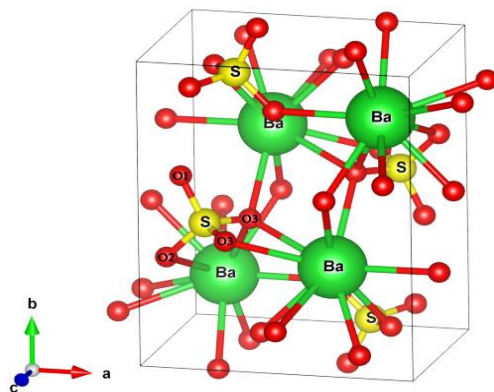
Bond:  $\text{l}(\text{S-O}_3) = 1.48649(0) \text{ \AA}$

Bond:  $\text{l}(\text{S-O}_1) = 1.46761(0) \text{ \AA}$

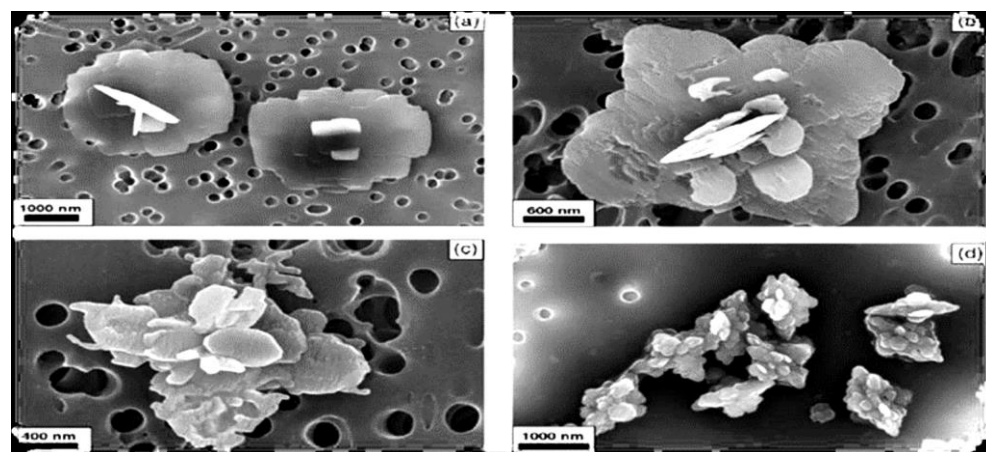
Bond:  $\text{l}(\text{S-O}_2) = 1.47011(0) \text{ \AA}$

#### ۴- ساختار شناسی

سولفات باریم با فرمول شیمیایی  $\text{BaSO}_4$  از یون های  $\text{Ba}^{2+}$  و  $\text{SO}_4^{2-}$  تشکیل شده است بلورهای بی رنگ یا سفید با وزن مولکولی نسبی  $233/4$  و با تراکم  $4/49 \text{ g/cm}^3$  در میلی لیتر هستند [۲۸]. هر چه کاتیون بزرگ تر باشد عدد کوئوردیناسیون نیز بالاتر است [۲۹] به عنوان مثال کاتیون  $\text{Ba}^{2+}$  با ۱۲ اتم هماهنگ می شود [۳۰-۳۳]. با این وجود، دامنه های مختلف از فواصل  $\text{Ba-O}$  وجود دارد، بنابراین نزدیکترین اتم های  $\text{O}$  نسبت به  $\text{Ba}^{2+}$  را می توان در فواصل ۸، ۱۰ یا ۱۲ دسته بندی کرد [۳۴]. همان طور که در ساختار باریت دیده می شود، شکل ۵، زاویه مجاور اتم  $\text{O}$  باریم ( $\text{O}_3\text{-S}\text{-O}_3$ ) باریک تر از  $109.63^\circ$  درجه است، در حالی که زاویه  $\text{O}-\text{O}_1$  و  $\text{O}-\text{O}_2$  پهن تر و طول پیوند دو (3)  $\text{SO}_4$  مربوط به اولی بیشتر از (1)  $\text{SO}_4$  است. زاویه باریک مشاهده شده و طول پیوند طولانی نتیجه جابجایی دو اتم  $\text{O}(3)$  به سمت اتم باریم است که باعث کاهش نیروی دافعه بین اتم باریم و اتم گوگرد می شود. جابجایی اتم های اکسیژن ساختار چهارضلعی  $\text{SO}_4^{2-}$  را تحریف کرده و اعوجاج آن نشان می دهد که



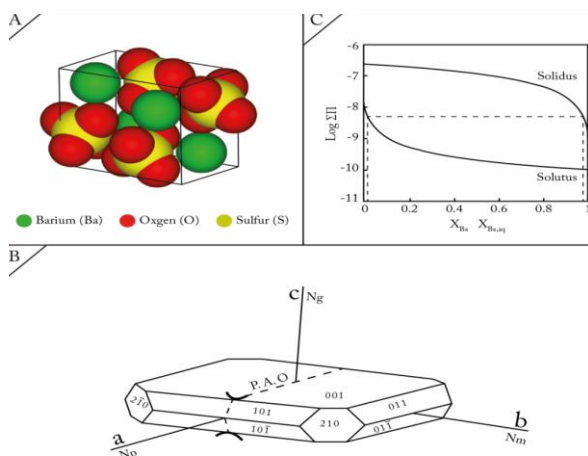
شکل ۵- ساختار بلوری باریت در امتداد محور  $c/[35]$ .



شکل ۶- ساختار بلوری باریم سولفات [۲۸].

اندازه‌گیری حلایت میلی‌گرم BaSO<sub>4</sub> در هر ۱۰۰ سانتی‌متر مکعب آب که توسط کهلاوش<sup>۲</sup>، انجام شده در جدول ۲ بیان شده است. جهت تأیید اینکه این مقادیر از یک نویسنده به نویسنده دیگر زیاد متفاوت نیستند، داده‌های کووان و وینتریت (۱۹۷۶)<sup>۳</sup> نیز ذکر شده است [۲۸].

با توجه به خواص فیزیکی بیان شده، خواص شیمیایی بدین نحو است. سولفات‌باریم به دلیل حلایت ضعیف آن در آب شناخته شده است. همچنین در الکل‌ها محلول نبوده و فقط در اسیدهای غلیظ محلول است [۴۳]. باریت ماده‌بی‌اثر سختی است که در برابر گرما و مواد شیمیایی و نور بسیار مقاوم است و مقدار کمی از آن می‌تواند رنگ‌های سفید حاوی سرب و روی را در مقابل عوامل جوی مقاوم کند [۱۸]. این ماده با پودر آلومینیم واکنش شدیدی نشان داده و به دلیل خاصیت حل نشدنی آن در آب و خواص ماتی رادیویی در تصویربرداری‌های پزشکی و رادیویی کاربرد دارد [۴۳]. در صورت ترکیب این ماده با آلومینیم و گرم شدن آن‌ها ممکن است واکنش انفجاری رخ دهد. در طی این آتش‌سوزی، سولفات‌باریم اکسیدهای گوگرد سمی تولید می‌کند. ساخت نادرست این ماده که ناشی از تهیه غیرقانونی و آسودگی آن توسط کربنات‌های محلول در آب است نیز می‌تواند باعث مرگ شود [۴۴].



شکل ۷- سلول قراردادی باریت (A)، صفحات بلوری باریت (B) نمودار BaSO<sub>4</sub><sup>۱</sup> برای محلول جامد ایده‌آل Lippman<sup>۲</sup> مجموع محصولات قابل حل به عنوان  $\Sigma II$  [Ba<sup>2+</sup>] [SO<sub>4</sub><sup>2-</sup>] تعریف شده، که در آن [Ba<sup>2+</sup>] / [SO<sub>4</sub><sup>2-</sup>] = ۱ است [۴۰].

<sup>2</sup> Kohlrausch  
<sup>3</sup> Cowan and Weintritt (1976)  
۴ یک نمودار گرافیکی، که حالت‌های تعادل جامد/ حل شده را برای یک محلول جامد دوتایی داده شده در تعادل با یک محلول آبی حاوی دو یون جایگزین نشان می‌دهد [۴۱].

استرانسیم تا حد زیادی رایج ترین ناخالصی در باریت طبیعی است [۳۸، ۳۷، ۳۶، ۳۵]. بیشتر باریت‌های طبیعی حاوی کمتر از ۷٪ مول (SrSO<sub>4</sub>) هستند [۳۷]. ترکیبات متوسط این دو بسیار نادر است. نمودار Lippman ابزاری قادرمند برای مطالعه محلول‌های آبی- محلول‌های جامد متعادل است. شکل ۷ چنین نموداری را برای یک محلول جامد (Sr, Ba) SO<sub>4</sub> ایده‌آل نشان می‌دهد. این تصویر از نمودار نتیجه نسبت‌های زیاد بین محصولات BaSO<sub>4</sub> و SrSO<sub>4</sub> است که برای باریت Ks=۶۳/۶ و برای سلسیت Ks=۱۰/۵ ثبت شده است. خطوط افقی را می‌توان بین منحنی‌های انجاماد و انحلال رسم کرد و بدین ترتیب بین ترکیبات فاز جامد و فاز آبی حالت‌های تعادل ترمودینامیکی ممکن فراهم می‌شود. طبق این نمودار، یک محلول آبی (خطوط خط‌چین) حتی با نسبت باریم به استرانسیم بسیار کم در تعادل با جایگزین ضعیف فاز جامد باریم (قریباً باریت خالص) خواهد بود [۴۰].

##### ۵- ویژگی‌ها و خواص فیزیکی و شیمیایی رنگدانه

بیش از سی سال پیش، وسنس (۱۹۴۶) منحنی‌های بازتاب را برای هر دو رنگدانه طبیعی و مصنوعی در محدوده ۰-۴۰۰ نانومتر تا ۹۴۰ نانومتر منتشر کرد. به دلیل ضریب شکست متوسط سولفات‌باریم، این رنگدانه به خوبی در رنگ‌های روغنی ادغام نمی‌شود، واقعیتی که در قرن هجدهم توسط مورو<sup>۱</sup> در بحث اصلی خود در مورد امکان استفاده از این ماده معدنی به عنوان رنگدانه به آن اشاره کرد [۲۱].

درنتیجه سولفات‌باریم بیشترین کاربرد اولیه خود را در آبرنگ و سایر رنگ‌های سنتی مبتنی بر آب مانند آن‌هایی که شامل کازئین و چسب هستند، پیدا کرد [۴۲]. رنگدانه‌های سولفات‌باریم طبیعی و مصنوعی در برابر تغییر رنگ، هم هنگام قرار گرفتن در معرض نور و هم با تعامل با سایر رنگدانه‌ها بسیار پایدار هستند و تا حدی به دلیل نامحلول بودنشان در آب (کمتر از ۳ ppm)، سمی نیستند. کمبود خصوصیات سمی این ترکیب یکی از دلایل اصلی معرفی آن به عنوان رنگدانه سفید برای هنرمندان بود [۲۳].

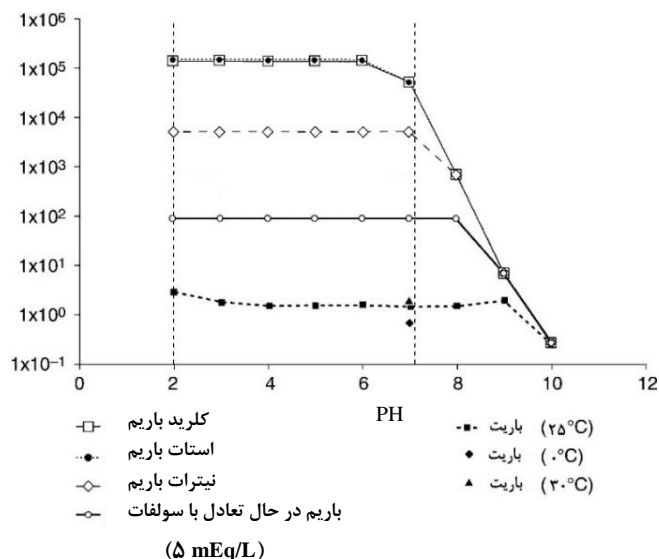
سولفات‌باریم خالص به صورت پودر سفید، بدون بو، نقطه ذوب ۱۵۸۰ درجه سانتی‌گراد و نقطه جوش ۱۶۰۰ درجه سانتی‌گراد و ضریب شکست ۱/۶۳۷ یافت می‌شود [۴۳]. در ترمودینامیک، حلایت یک کمیت فیزیکی است که S نشان‌دهنده بیشینه غلظت جرم ماده حل شده در حل، در دمای مشخص است که بر اساس گرم بر لیتر یا مول بر لیتر BaSO<sub>4</sub> بیان می‌شود. محلول به دست آمده در نهایت اشباع می‌شود. درواقع نمک سولفاتی است که کمترین حلایت را دارد. نتایج حاصل از

<sup>1</sup> Morveau

جدول ۲- میزان حلایت BaSO<sub>4</sub> در ۱۰۰ سانتی‌متر مکعب آب به عنوان تابعی از دما تهیه شده توسط کهلاوش و کووان و وینتریت [۲۸]

دما (°C)	(mg) BaSO <sub>4</sub>
۵۰	۳۴
۳۴	۳۰
۳۰	۲۶/۷۵
۲۶	۱۸
۱۰	۳/۳۳
۰	۰
۵۰	۰/۱۱۵
۳۴	۰/۲۰۷
۳۰	۰/۲۰
۲۶	۰/۲۲۶
۱۸	۰/۲۶۶
۱۰	۰/۲۸۵
۰	۰/۲۹۱
۵۰	۰/۳۳۶

اسیدسولفوریک نمی‌توان سولفات باریم را برای ترکیب با رنگدانه‌ها یا استفاده در تولید کاغذ مناسب ساخت. اگر اسیدسولفوریک به آهستگی به محلول سولفید باریم اضافه شود، ترکیبی به دست می‌آید که دارای بافتی خشن و رنگی ضعیف است.



شکل ۱- حلایت ترکیبات مختلف باریم در طیف وسیعی از مقادیر pH [۴۵].

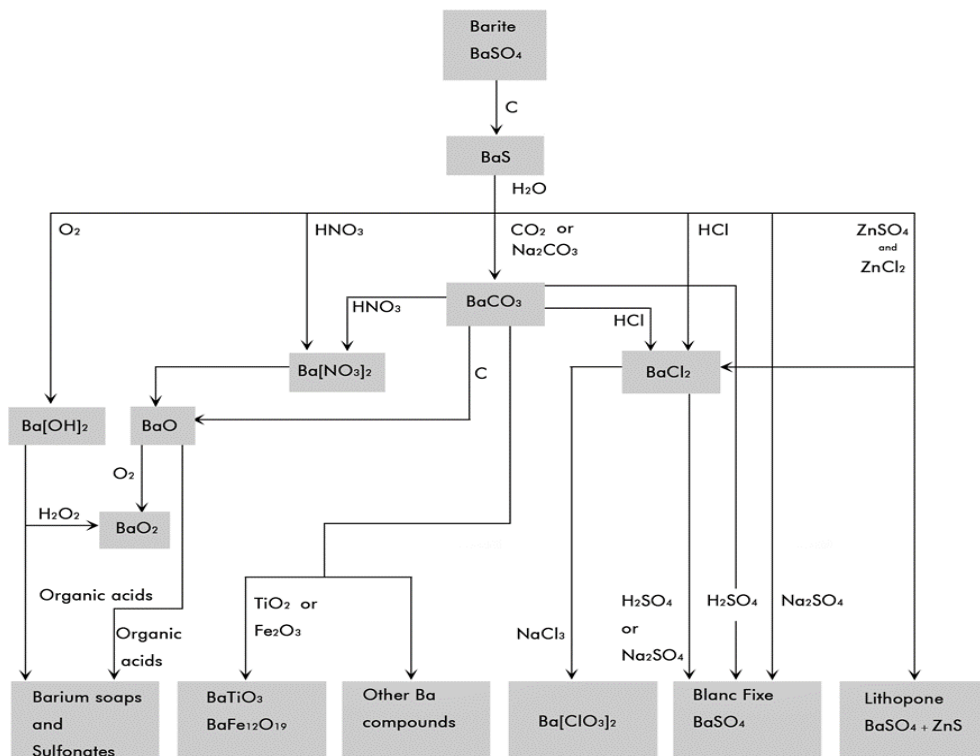
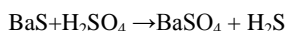
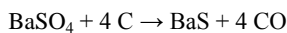
حلایت باریت به عنوان تابعی از افزایش حلایت آن با توجه به شکل ۸ در محلول‌های باقدرت یونی بالا، در pH پایین کمی افزایش می‌یابد. افزایش دما همچنین حلایت باریم را افزایش می‌دهد، اما این اثر در شرایط طبیعی مرتبط با محیط‌زیست و فیزیولوژیکی ناچیز است [۴۵].

#### ۶- ترکیب‌بندی

جهت دست یابی به رنگدانه باریت می‌توان از ترکیبات سولفات روی و کلرید روی با سولفید باریم استفاده کرد همچنین کربنات باریم در حضور اسیدسولفوریک سبب تولید بلنک فیکس می‌شود که به عنوان رنگدانه مصنوعی یا پرکننده استفاده می‌شود. شکل ۹ چگونگی تبدیل باریت به سایر ترکیبات باریم را نشان می‌دهد [۴۶].

#### ۷- طرز تهییه

ساخت سولفات باریم از ماده معدنی باریت که به سختی استخراج می‌شود آغاز شده و سپس محصول درشت، خرد و مرطوب می‌شود تا ظرافت لازم را به دست آورد [۴۷]. در ابتدای این فرآیند باریت با کربن کاهش می‌یابد و به آن سولفید باریم محلول در آب اضافه می‌شود که عمدتاً به عنوان واسطه برای تولید سایر ترکیبات باریم و لیتوپون استفاده می‌شود [۴۶]. روش دیگر جهت فرآوری سولفات باریم خالص، واکنش کربنات باریم یا کلرید باریم با اسیدسولفوریک است. با واکنش محلول سولفید باریم با



تصویر ۹- مسیرهای تولید منتهی به ترکیبات مختلف باریم که از باریت شروع می‌شود [۴۶].

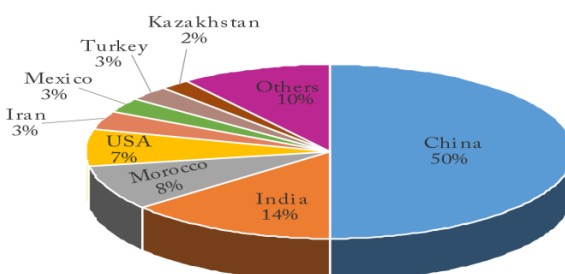
باریت با اندازه ذرات بسیار ریز (مرحله میکرونیزه) را می‌توان با فرآوری در یک آسیاب جهشی به دست آورد. این ماده هم‌اکنون با اندازه ذرات متوسط به میزان ۰/۱ تا ۰/۲۰ میکرون در دسترس است [۲۳]. حداکثر میزان تولید باریت در جهان  $106 \times 10^3$  تن بود (۱۹۸۱). با این حال، تنها ۷-۸٪ از آن برای تولید سایر ترکیبات باریم استفاده می‌شد. در یک بررسی بین سال‌های ۱۹۹۸ تا ۲۰۱۶ بیشترین میزان تولید باریت جهان مربوط به چین (۵۰٪) و سه درصد از تولیدات آن در ایران بود (شکل ۱۰) [۴۰، ۴۶].

## ۸- روش‌های شناسایی رنگدانه سولفات باریم

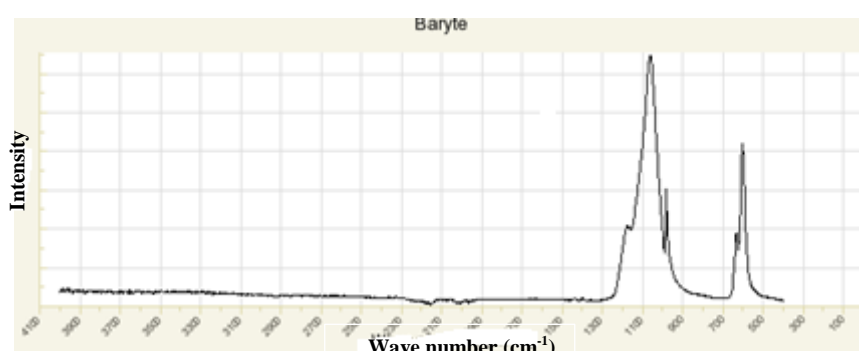
### ۸-۱- طیف‌سنجی زیرقرمز و رامان

طیف‌سنجی زیرقرمز، IR، روشی برای شناسایی مولکول‌ها و بخصوص گروه‌های عاملی مولکول‌هاست. هر ماده‌ای، طیف زیرقرمز مخصوص به خود را دارد که مختص همان مولکول می‌باشد. سولفات باریم نیز دارای مجموعه‌ای مشخص و واضح از نوارهای جذب زیرقرمز است که به راحتی از سایر رنگدانه‌های سفید قابل تشخیص است اما مواد معدنی گروه باریت دارای ساختارهای یکسانی هستند، بنابراین طیف آن‌ها به یکدیگر شبیه خواهد بود، اما ویژگی‌های طیفی دیگر با مقادیر کم در نتیجه‌ی ارتباط با کاتیون‌های مختلف جبران می‌شوند [۲۹]. سولفات‌های باریم طبیعی و مصنوعی را نمی‌توان به طور قاطع توسط زیرقرمز تشخیص داد، هرچند، همان‌طور که در شکل ۱۱ مشاهده می‌شود، نوارهای جذب محصول طبیعی، گسترده‌تر هستند.

از طرف دیگر، اگر روش ترکیب بر عکس شود یعنی سولفات باریم به محلول اسید‌سولفوریک اضافه شود، مجدداً یک ترکیب ناخواهی‌اند از نظر رنگ و بافت حاصل می‌شود. در همین راستا می‌توان با اضافه کردن همزن مان سولفات باریم و اسید‌سولفوریک در یک ظرف واکنش مجهرز به همزن و همچنین حفظ مقدار pH بین ۰/۵ و ۳ در طی فرآیند تولید فعالی که در آن واکنش در حضور بیش از حد ترکیبات قلیایی باریم رخ می‌دهد و هیچ تجمع قابل توجهی از اسید آزاد مجاز نبوده و یا واکنش فقط بین کلرید باریم و اسید‌سولفوریک اتفاق می‌افتد است. افزودن یک اسید یا مخلوطی از اسیدها می‌تواند به نمک‌های باریم یا نمک‌های محلول در همان اسید یا مخلوط اسیدها، محدوده pH ۰/۵ تا ۳ را به بخشی از ترکیبات باریم که در ساخت سولفات باریم استفاده می‌شوند بدهد. این افزودنی ممکن است به طور کامل به بخشی از ترکیبات باریم مورد استفاده در ساخت، یا به بخشی از آن و تا حدی به اسید‌سولفوریک مورد استفاده برای رسوب سولفات باریم اضافه شود. از جمله اسیدهایی که می‌توان استفاده کرد اسید کلریدریک، اسید فسفریک یا اسید هیدروفلوریک یا مخلوطی از این مواد است. اگر در طول فرآیند تولید مقدار pH بیشتر از ۳ شود، باریم سولفات خشک بافتی خشن خواهد داشت در حالت کلی با افزایش مقدار pH بافت خشن‌تر و علاوه بر این رنگ سفید نهایی نیز نامناسب خواهد بود [۴۸]. گاهی برای بهبودی سفیدی باریم سولفات مقادیر کمی آبی اولترامارین به آن اضافه می‌شود. در انتهای کار ذرات باید دوباره با آب شسته شوند تا اسید باقیمانده از بین برود. سپس خشک شده و غربال می‌شوند و در نهایت عمل بسته‌بندی انجام می‌گیرد.



شکل ۱۰- میزان تولید باریت بین سال‌های ۱۹۹۸ تا ۲۰۱۶ [۴۰].



شکل ۱۱- باندهای اصلی جذب رنگدانه‌های سولفات باریم در طیف مادون‌قرمز [۲۵].

$\nu_4 = 989 \text{ cm}^{-1}$  است. باندهای دیگر در  $\nu_2$ ,  $\nu_3$  و  $\nu_4$  دیده شد که به صورت زیر است [۵۲].

$$\nu_2 = 461 \text{ cm}^{-1}$$

$$\nu_3 = 1085 \text{ cm}^{-1}, 1143 \text{ cm}^{-1} \text{ و } 1167 \text{ cm}^{-1}$$

$$\nu_4 = 619 \text{ cm}^{-1}, 648 \text{ cm}^{-1}$$

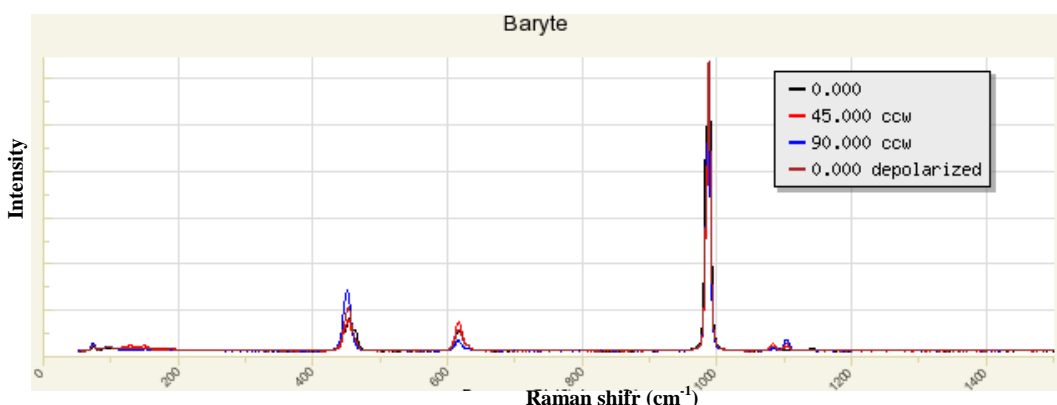
**۲-۸-الگوی پراش پرتو ایکس**  
فاصله  $d$  و شدت خطوط اصلی پراش پرتو ایکس سولفات باریم در تصویر ۱۳ جدول ۳ آورده شده است. اگرچه رنگ دانه طبیعی سولفات باریم همان الگوی پراش رنگ دانه مصنوعی را دارد، اما می‌توان انتظار داشت که برخی گسترش خطوط را پیدا کند، به ویژه در XRD همچنین ممکن است برخی ناخالصی‌ها در باریت شناسایی شود.

مشخص ترین نوارها در  $1075 \text{ cm}^{-1}$ ,  $1120 \text{ cm}^{-1}$  و  $1185 \text{ cm}^{-1}$  قرار دارند [۴۹, ۵۰].

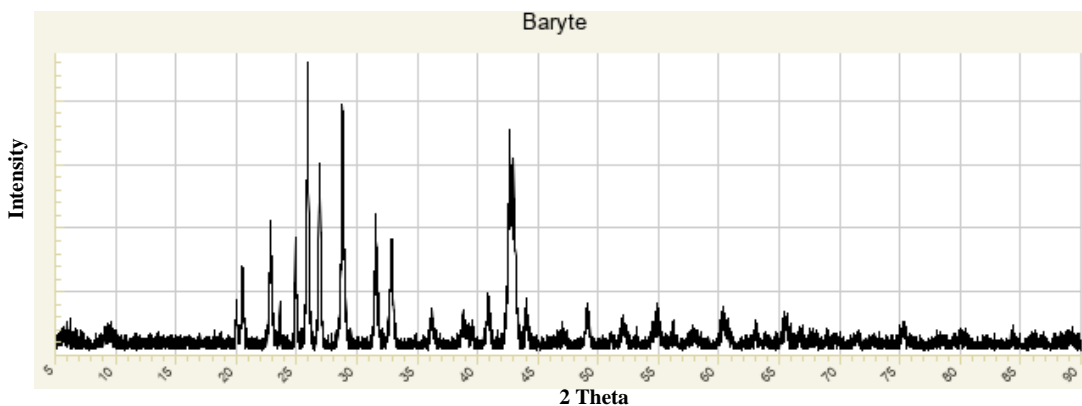
این دو از لیتوپون ( $\text{BaSO}_4 / \text{ZnS}$ ) قابل تفکیک نیستند مگر اینکه طیف‌ها در ناحیه عدد موج کمتر از  $400 \text{ cm}^{-1}$  (طول موج‌های طولانی تر از ۲۵ نانومتر) مورد بررسی قرار گیرند [۵۱].

اگر اکسید روی به جای سولفید روی وجود داشته باشد، نوار جذب شاخص بین  $500 \text{ cm}^{-1}$  تا  $400 \text{ cm}^{-1}$  کاهش می‌یابد از آنجاکه طیف زیر قرمز سولفات باریم ممکن است با سولفات سرب پایه اشتباہ گرفته شود و انجام آنالیزهای دیگر ضروری است [۲۳].

اساس کار رامان بر اساس تفرقه ایجاد شده به واسطه برخورد طول موج از یک لیزر یا پرتوی از یک لیزر است. طیف رامان باریت، شکل ۱۲، شامل یک باند شدید  $\nu_1$  است که مربوط به کشش متقاضی  $\text{SO}_4^{2-}$  در

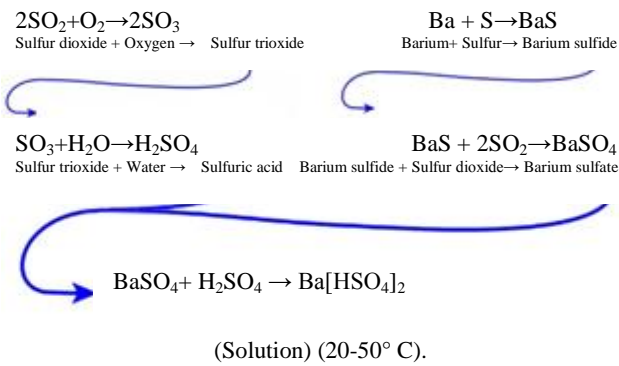


شکل ۱۲ - طرح طیفی رامان رنگدانه سفید باریم [۲۵].



D (A)	I	D (A)	I
۲/۷۲	۴۷	۴/۴۳	۱۷
۲/۴۸	۱۴	۴/۳۳	۳۶
۲/۲۱	۲۷	۳/۸۹	۵۷
۲/۰۵	۲۳	۳/۴۴	۱۰۰
۱/۷۵	۹	۳/۳۱	۶۷
۱/۶۷	۱۴	۳/۱۰	۹۷
۱/۵۹	۸	۲/۸۳	۵۳

شکل ۱۳ - داده‌ها و نمودار پراش پرتو ایکس برای سولفات باریم (باریت) [۲۳, ۲۵].



شکل ۱۴ - واکنش سولفات باریم و تغییرات شیمیایی آن با اقتباس [۵۳].

**۱۰- نتیجه‌گیری**

پیرو آنچه در متن مقاله مشاهده گردید سولفات باریم یک رنگدانه با میزان پوشش دهی کم در سطح است و استفاده از آن به عنوان رنگ پوششی با مشکلاتی مواجه است. این رنگدانه می‌تواند به طور طبیعی از معادن متعددی که در کشور وجود دارد به دست آید و همچنین می‌تواند به صورت مصنوعی تولید شود در گونه مصنوعی این رنگدانه برای بهبود پوشانندگی رنگ در سطح از سولفید روی استفاده می‌شود اما همچنان ویژگی‌های بهینه یک رنگدانه ایده‌آل در مقیاس هزینه‌ای آن چندان جالب توجه نیست. به علاوه در رابطه با این ماده می‌دانیم که ترکیبات باریم در کاربری‌های مختلفی همچون: تقویت ساختار انواع چوب و استفاده در امر حفاظت و مرمت دیوارنگاره‌های تاریخ و فرهنگی و اسیدزدایی کاغذهای اسیدی شده و همچنین در امر استحکام بخشی سنگ‌های تاریخی و یادمانی استفاده می‌شود از این رو سوال جدید که از پس این تحقیق مروی در رابطه با سفید باریم پیش خواهد آمد و می‌تواند خلا دانشی موجود برای انجام تحقیقات بعدی باشد آن است که آیا می‌توان همچنان با تغییر ابعاد رنگدانه در ابعاد نانو برخی خواص آن را همانند قدرت پوشانندگی تحت تاثیر قرار داد آیا دیگر ویژگی‌های رنگدانه‌ی موردنظر با تولید آن در مقیاس نانو نیز تغییر خواهد نمود. این امر از نظر اقتصادی و صنعتی نیازمند مطالعه است و بایست مزایا و معایب این تغییر ابعاد رنگدانه و خواص آن مورد مطالعه قرار گیرند، به علاوه تغییرات حاصل شده در رابطه با به کارگیری این رنگدانه در امر حفاظت و مرمت آثار تاریخی و فرهنگی نیازمند بررسی و مطالعه برهمنش سازنده این ماده جدید و مواريث فرهنگی است.

**تشکر و قدردانی**

این مقاله جهت یکپارچه‌سازی مطالعات انجام شده روی رنگدانه سولفات باریم و بررسی نقاط قوت و ضعف این رنگدانه سفید نگارش گردیده است بدینوسیله از دانشکده حفاظت آثار فرهنگی دانشگاه هنر اسلامی تبریز به جهت فراهم کردن امکانات مادی و معنوی انجام این تحقیق سپاسگزاری می‌گردد.

**۹- آسیب‌شناسی**

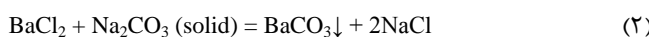
رونده تخریب سولفات باریم به دلیل پایدار بودن این ماده کمتر موربدبررسی قرار گرفته است هرچند که به دلیل استفاده ترکیبی از این ماده در کنار سایر رنگدانه‌ها و همچنین در حضور عوامل آسیب‌رسان محیطی می‌تواند امری قابل پیش‌بینی تلقی گردد. در ادامه به چند واکنش محتمل در روند تخریب رنگدانه سولفات باریم اشاره می‌گردد.

**۱۱- اسیدسولفوریک**

با توجه به روند رو به افزایش آلایندگی‌های محیطی، عوامل مخرب همچون  $\text{SO}_x$ ،  $\text{NO}_x$ ،  $\text{CO}_x$  ها در محیط‌های شهری و پرتردد رو به فزونی گذاشته است. این آلاینده‌ها با وجود رطوبت در هوای می‌توانند به اشکال گوناگونی از اسیدها تبدیل شوند که بر سطوح آثار هنری تأثیر مخرب ایجاد می‌نمایند. اسیدسولفوریک که یکی از این اسیدهای مخرب در محیط‌های آلوده شهری هست در باران‌های اسیدی دیده می‌شود. طبیعتاً اسیدسولفوریک در بنای‌های تاریخی و فضاهای سربسته با افزایش حجم آلاینده  $\text{SO}_x$  و افزایش رطوبت به واسطه بازدیدکنندگان از طریق واکنش (شکل ۱۴) تولید می‌گردد. اسیدسولفوریک ایجاد شده بر روی سطوح آثار هنری و تاریخی می‌تواند باعث تخریب گردد اما با نگاهی به احتمالات و واکنش‌پذیری سولفات باریم در مقابل اسیدسولفوریک نتیجه می‌تواند به صورت شکل ۱۴ باشد. واکنش در دمای بین ۲۰ الی ۵۰ درجه سانتی‌گراد رخ می‌دهد که دمایی معمولی است. نتیجه واکنش است که به صورت ساختار بلورهای قابل مشاهده خواهد بود.

**۱۲- نمک‌های محلول**

نمک‌های محلول یکی از عوامل آسیب‌رسان به آثار تاریخ فرهنگی می‌باشند که چه به صورت فیزیکی همچون تبلور سطحی، پوسته‌پوسته کردن آثار و غیره به صورت شیمیایی و در واکنش با سایر عناصر شیمیایی باعث تخریب می‌شوند. نمک‌های محلول به‌وقور در حضور رطوبت در لایه‌های ساختمانی یافت شده و با حل شدن در حضور رطوبت در لایه‌های مختلف آرایه‌های دیواری باعث ایجاد واکنش شیمیایی و یا تخریب فیزیکی می‌شوند. در خصوص رنگدانه سولفات باریم نمک‌های محلول قابلیت واکنش مستقیم بسیار محدودی دارند اما در صورتی که سولفات باریم به شکلی در مجاورت اسیدکلریدریک قرار گیرد (واکنش ۱) قابلیت تجزیه و واکنش با نمک‌های محلول  $\text{Na}_2\text{CO}_3$  و  $\text{Na}_2\text{SO}_4$  را دارد که در خصوص واکنش با سولفات سدیم واکنشی برگشت‌پذیر بوده و عملأً نتیجه برگشت واکنش خود سولفات باریم است (واکنش ۲). اما در واکنش با کربنات سدیم در حضور اسیدکلریدریک کلرید سدیم و کربنات باریم نتیجه واکنش خواهد بود (واکنش ۳) [۵۳].



## -مراجع-

1. M. Vijay, C. J. Patel, " *Understanding coatings raw materials*", Hanover: Vincentz Network, **2015**.
2. R. Talbert, " *Paint technology handbook*", Boca Raton: CRC press, **2008**.
۳. م. امیری، م. ابراهیمی، م. عطایی فرد، "مروی بر مطالعات صورت گرفته در زمینه نانورنگدانه‌های هیبریدی بر پایه رس" ، **۱۳۹۹، ۲۹-۴۴، ۰۰**.
4. C. Cardell, L. Rodriguez-Simon, I. Guerra, A. Sanchez-Navas, "Analysis of nasrid polychrome carpentry at the hall of the Mexuar Palace, Alhambra complex (Granada, Spain), combining microscopic, chromatographic and spectroscopic methods", *Archaeometry*. 51, 637-657, **2009**
5. N. Navas, J. Romero-Pastor, E. Manzano, C. Cardell, "Benefits of applying combined diffuse reflectance FTIR spectroscopy and principal component analysis for the study of blue tempera historical painting", *Anal. Chim. Acta*. 630, 141-149, **2008**
6. D. Hradil, T. Grygar, J. Hradilová, P. Bezdička, "Clay and iron oxide pigments in the history of painting", *Appl. Clay Sci.* 22, 223-236, **2003**
۷. ا. خوشخو، "کانسارهای باریت ایران" ، نشریه سازمان زمین شناسی و اکتشافات معدنی کشور، **۱۳۸۷، ۱-۳، ۱۶۳**.
8. F. Delgado-Vargas, A. Jiménez, O. Paredes-López, "Natural pigments: carotenoids, anthocyanins, and betalains— characteristics, biosynthesis, processing, and stability", *Crit. Rev. Food Sci. Nutr.* 40, 173-289, **2000**.
9. T. Jesionowski, F.Ciesielczyk, "Pigment, Inorganic", Encyclopedia of color science and technology, Springer, New York, NY, [https://doi.org/10.1007/978-3-642-27851-8\\_180-1](https://doi.org/10.1007/978-3-642-27851-8_180-1), **2013**.
10. J. Barnett, S. Miller, E. Pearce, "Colour and art, a brief history of pigments", *Opt. Laser Technol.* 38, 445-53, **2006**.
11. A. Karimi, "An attempt to trace the evolution of the manufacture of pigments in Iran and the history of studies in this field", *J. Hist Sci.* 21; 233-49, **2018**.
12. M. Douma, " *Pigments through the Ages*" , <http://www.webexhibits.org>, Accessed **2020**.
13. H. Nobb, " *Colour4Free A resource for information concerning colour science*" , Available at: <http://www.colour4free.org.uk/BooksHtml/H23ColorantTypes.htm>. Accessed **2020**.
14. A. Roy, " *Artist's pigments: a handbook of their history and characteristics*" , Vol. 2. **1986**.
15. P. B. Gordon, " *Surface coating*" , <https://www.britannica.com/technology/surface-coating>, Accessed December 19, **2020**.
16. V. Gonzalez, D. Gourier, T.Calligaro, K.Toussaint, G. Wallez, M. Menu, "Revealing the origin and history of lead-white pigments by their photoluminescence properties", *Anal. Chem.* 89, 2909-2018, **2017**.
17. D. Myers. "The color of art site map - pigments, paints and formulas", <http://www.artiscreation.com>, **2020**.
18. R. Gettens, G. Stout, H. Farahmand, H. Bakhshandehfar, " *Painting materials: a short encyclopaedia*" , Courier Corporation, **1966**
19. M. Colombini, I. Degano, " *Pigments and binders*" , the Encyclopedia of Archaeological Sciences, 10, 1-5, **2018**.
20. X. Zhang, K.Lawrence, " *Barium sulfate*" The Conservation and art materials encyclopedia online (CAMEO), [http://cameo.mfa.org/wiki/Barium\\_sulfate](http://cameo.mfa.org/wiki/Barium_sulfate), 2021.
21. R. D. Harley, " *Artists' pigments*" , A study in English documentary sources, 2nd ed, 1600-1835, **1982**.
22. H. Choudhury, R. Cary, " *World health organization. barium and barium compounds*" , World Health Organization, **2001**.
23. RL. Feller, " *Artist's pigments: a handbook of their history and characteristics*" , National gaiery of art, Vol. 1, **1986**.
24. M. Wachowiak, G. Trykowski, I. Źmuda-Trzebiatowska, "White, yellow and green pigments on Polish artist's palettes in the period 1838-1938", *Proc. Lacona 11th (Laser in Conservation of Artworks)*. **2016**.
25. B. Downs, " *Baryte R050375*" , <https://rruff.info/Barite/R050375>, **2020**
26. "Barium sulfate, chemistry learner, It's all about chemistry", <https://www.chemistrylearner.com/barium-sulfate.html>, **2020**.
27. R. Haswell, U. Zeile, K. Mensch, "Van Gogh's painting grounds: an examination of barium sulphate extender using analytical electron microscopy-SEM/FIB/TEM/EDX", *Microchimica Acta*, 161, 363-369, **2008**.
28. A. Arbaoui, M. Hacini, "Barium Sulphate Deposits", *Energy Procedia*, 157, 879-891, **2019**.
29. M. Lane, "Mid-infrared emission spectroscopy of sulfate and sulfate-bearing minerals", *Am. Mineral.* 92, 1-8, **2007**.
30. F. Hawthorne, R. Ferguson, "Anhydrous sulphates; I, Refinement of the crystal structure of celestite with an appendix on the structure of thenardite", *Can. Mineral.* 13, 181-187, **1975**.
31. R. J. Hill, "A further refinement of the barite structure", *Can. Mineral.* 15, 522-526, **1977**.
32. S. Jacobsen, J. Smyth, R.J. Swope, R. Downs, "Rigid-body character of the SO<sub>4</sub> groups in celestine, anglesite and barite", *Can. Mineral.* 36:1053-60, **1998**.
33. M. Brigatti, E. Galli, L. Medici, "Ba-rich celestine: new data and crystal structure refinement", *Mineral. Mag.* 61, 447-451, **1997**.
34. S. Antao, "Structural trends for celestite (SrSO<sub>4</sub>), anglesite (PbSO<sub>4</sub>), and barite (BaSO<sub>4</sub>): Confirmation of expected variations within the SO<sub>4</sub> groups", *Am. Mineral.* 97, 661-665, **2012**.
35. M. Miyake, I. Minato, H. Morikawa, S. Iwai, "Crystal structures and sulphate force constants of barite, celestite, and anglesite", *Am. Mineral.* 63, 506-510, **1978**.
36. J. Anthony, " *Handbook of mineralogy*" , Mineral Data Publishing, **1990**.
37. JS. Hanor, "Barite-celestine geochemistry and environments of formation", *Rev. Mineral. Geochem.* 40, 193-275, **2000**.
38. S. Bouhlel, " *Thèse de 3ème cycle*" , Univers, Toulouse III (inédit), **1982**.
39. M. Prieto, A. Putnis, L. Fernandez-Diaz, "Crystallization of solid solutions from aqueous solutions in a porous medium: zoning in (Ba, Sr) SO<sub>4</sub>". *Geol. Mag.* 130, 289-299, **1993**.
40. M. Essalhi, D. Mrani, A. Essalhi, A. Toummite, H. Ali-Ammar, "Evidence of a high quality barite in Drâa-Tafilalet region", Morocco: A nonupgraded potential, *J. Mater. Environ. Sci.* 9, 1366-78, **2018**.
41. AS. Marfunin, editor, " *Advanced mineralogy*" : Mineral Matter in Space, Mantle, Ocean Floor, Biosphere, Environmental Management, and Jewelry: Volume 3. Springer Science & Business Media, **1998**.
42. G. F. A. Stutz, "The testing of paint pigments for transparency to ultraviolet radiation in ZnO", *J. Franklin. Inst.* 202, 89- 99, **1926**.
43. PM. Dibello, JL. Manganaro, ER. Aguinaldo, T. Mahmood, CB. Lindahl, " *Barium compounds*" , Kirk-Othmer Encyclopedia of Chemical Technology, **2000**.
44. C. LaRoche, "Hazards of copper sulfate" sciencing.com, <https://sciencing.com/hazards-copper-sulfate-7609349.html>, **2020**.
45. C. Menzie, B. Southworth, G. Stephenson, N. Feisthauer, "The importance of understanding the chemical form of a metal in the environment: the case of barium sulfate (barite)", *Hum. Ecol. Risk Assess.* 14, 974-991, **2008**.

46. R. Kresse, U. Baudis, P. Jäger, HH. Riechers, H. Wagner, J. Winkler, Wolf HU, "Barium and barium compounds", Ullmann's encyclopedia of industrial chemistry, **2000**.
47. T. C. Patton, "Barium sulfate natural", Pigment Handbook, vol. I, ed. T. C. Patton, 275 – 280, **1973**.
48. WI. Ephraim, WW. Stanlcy, inventors, "Manufacture of barium sulphate", United States patent US 2,285,242, **1942**.
49. R. Newman, "Some applications of infrared spectroscopy in the examination of painting materials", J. Am. Inst. Conserv. 19, 42-62, **1979**.
50. P. Tarte and G. Nizet, "Etude infrarouge de quelques composés du type  $K_2SO_4$  ET  $BaSO_4$ ", Spectrochim. 503 – 513, **1964**.
51. RA. Nyquist, RO. Kagel, "Handbook of infrared and Raman spectra of inorganic compounds and organic salts: infrared spectra of inorganic compounds", Academic press; **2012**.
52. N. Buzgar, A. Buzatu, IV. Sanislav, "The raman study on certain sulfates". Analele Stiintifice ale Universitatii Al. I. Cuza; 55:5-23, **2009**.
53. M. Pirak, M. Gorji, R. Vahidzadeh, R. Bahadori, "Analysis of erosion caused by soluble salts in historical monuments", JRA. 1 , 51-73, **2016**.